

Синтез оптимального линейного регулятора скорости БДПМ в электроприводах промышленных роботов

М. П. Белов¹, Д. Х. Чан², Ч. Х. Фьонг³

Кафедра робототехники и автоматизации производственных систем (РАПС)

Санкт-Петербургский государственный электротехнический университет

«ЛЭТИ» им. В. И. Ульянова (Ленина)

¹milesa58@mail.ru, ²tuyetnhung110807@gmail.com, ³tranhuuphuong83@gmail.com

Аннотация. Предложен новый метод разработки для регулятора тока и скорости электропривода системы на основе бесколлекторного двигателя с постоянными магнитами (БДПМ). Предложено решение синтеза оптимального регулятора скорости БДПМ на основе использования преобразования Фурье фазных токов и угла поворота ротора двигателя для сглаживания момента. Проанализировано насыщение фазных напряжений инвертера и процесс потери энергии в стали машины, вызываемой диффузией обратных фазных токов со случайными частотами. Доказана эффективность применения оптимального управления для синтеза оптимальной компенсации момента БДПМ с учетом зависимости электромагнитных характеристик двигателя от угла поворота его ротора на основе моделирования системы в среде Matlab/Simulink.

Ключевые слова: инвертер; бесколлекторный двигатель с постоянными магнитами; оптимальный регулятор; преобразование Фурье

1. МАТЕМАТИЧЕСКАЯ МОДЕЛЬ БДПМ

Электропривод на основе БДПМ используется во многих областях техники и промышленности. Современные электроприводы БДПМ широко применяются для управления манипуляторами и мобильными роботами. В электроприводах промышленных роботов требуются энергоэффективность и точные характеристики следящего крутящего момента во всем диапазоне скорости. Оптимальное управление крутящим моментом БДПМ с учетом гармоник электродвижущей силы на основе оптимизации Лагранжа [1] может снизить рассеяние мощности и насыщение напряжения управления. Для обеспечения незапаздывания фазных токов в индуктивных обмотках и момента двигателя при использовании метода непрямого оптимального управления моментом без учета соответствующей динамики обратной связи по току требуется либо регулирование тока с широкой полосой пропускания, либо достаточно низкий диапазон рабочих скоростей.

В работе предложена модель энергоэффективного управления моментом многофазных несинусоидальных БДПМ. Проведена оценка эффективности этой модели по сравнению с традиционной моделью двигателя,

учитывающей зависимости индуктивности от угла поворота ротора. Предложен метод оптимального управления на основе максимального принципа с учетом применения преобразования Фурье фазных токов и угла поворота ротора в контуре управления моментом БДПМ. Синтезирован ПИ-регулятор скорости на основе оптимального линейного регулятора крутящего момента БДПМ.

Рассмотрим общий БДПМ с p фазы и n пар полюса. Фазные напряжения обмотки статора двигателя имеют следующий вид:

$$\mathbf{u} = \mathbf{L} \frac{d\mathbf{i}}{dt} + \mathbf{R}\mathbf{i} + \mathbf{F}(q)\dot{q}, \quad (1)$$

где $\mathbf{i} = [i_1, i_2, \dots, i_p]^T$ – вектор токи обмоток статора,

$\mathbf{u} = [u_1, u_2, \dots, u_p]^T$ – вектор фазных напряжений обмоток статора, q – угловое положения ротора, $\mathbf{F}(q)$ – часть полного потока статора зависимости от углового положения ротора, \mathbf{L} – матрица индуктивности обмоток статора, \mathbf{R} – матрица фазных сопротивлений обмоток статора, \dot{q} – угловая скорость ротора. Предположим, что индуктивность обмоток может быть представлена основной гармоникой разложения действительной индукции в ряд Фурье. Такое допущение, упрощающее анализ, является оправданным, так как во многих практических случаях шаг обмотки и коэффициенты распределения выбираются так, чтобы свести на нет влияние гармонических возмущений. Обозначение $\mathbf{i}_0 = \mathbf{e}^T \mathbf{i}$. Тогда можно переписать уравнение (1) в виде:

$$\lambda \frac{d\mathbf{i}}{dt} + \mathbf{i} - \alpha \mathbf{i}_0 \mathbf{e} = \frac{1}{R} (\mathbf{I} - \alpha \mathbf{J}) (\mathbf{u} - \mathbf{F}(q)\dot{q}); \quad (2)$$

$$\lambda_0 \frac{d\mathbf{i}_0}{dt} + \mathbf{i}_0 = \frac{1}{R} \mathbf{e}^T (\mathbf{u} - \mathbf{F}(q)\dot{q}), \quad (3)$$

где $\lambda = \frac{L_s - M_s}{R}$, $\lambda_0 = \frac{L_s + (p-1)M_s}{R}$ – постоянные времени двигателя, \mathbf{I} – единичная матрица, $\mathbf{J} = \mathbf{e}^T \mathbf{e}$, $\mathbf{e} = [1, 1, \dots, 1]^T$. $\alpha = \frac{M_s}{(p-1)M_s + L_s}$.

Для подключенных машин без нейтральной линии, на фазовые токи должно быть $i_0 = 0$. Из уравнения (3) следует, что: $\mathbf{e}^T (\mathbf{u} - \mathbf{F}(q)\dot{q}) = 0$, и устойчивость состояния i_0 , равна $i_0(t) = i_0(0)e^{-\lambda_0 t}$. В этом случае член i_0 в уравнении (2) обращается в ноль, поэтому динамическое уравнение БДПМ без нейтральной линии упрощается и может быть представлено в следующем виде:

$$\lambda \frac{d\mathbf{i}}{dt} + \mathbf{i} = \frac{1}{R} (\mathbf{B}\mathbf{u} - \mathbf{F}'(q)\dot{q}), \quad (4)$$

где $\mathbf{B} = \frac{1}{p} \begin{bmatrix} p-1 & -1 & \dots & -1 \\ -1 & p-1 & \dots & -1 \\ \dots & \dots & \dots & \dots \\ -1 & -1 & \dots & p-1 \end{bmatrix}$, и $\mathbf{F}'(q) = \mathbf{B}\mathbf{F}(q)$.

С другой стороны, электромагнитный момент τ , создаваемый электродвигателем, является результатом преобразования электрической энергии в механическую, и его можно найти по принципу виртуальной работы [2]:

$$\tau = \mathbf{F}^T(q)\mathbf{i} = \mathbf{F}'^T(q)\dot{q}. \quad (5)$$

Уравнения (4) и (5) полностью описывают общую модель параметров многофазных несинусоидальных синхронных машин с постоянными магнитами.

Производная по времени из выражения (5) имеет вид:

$$\dot{\tau} = \mathbf{F}^{T'}(q)\dot{q} + \mathbf{i}^T \frac{\partial \mathbf{F}'(q)}{\partial q} \dot{q}. \quad (6)$$

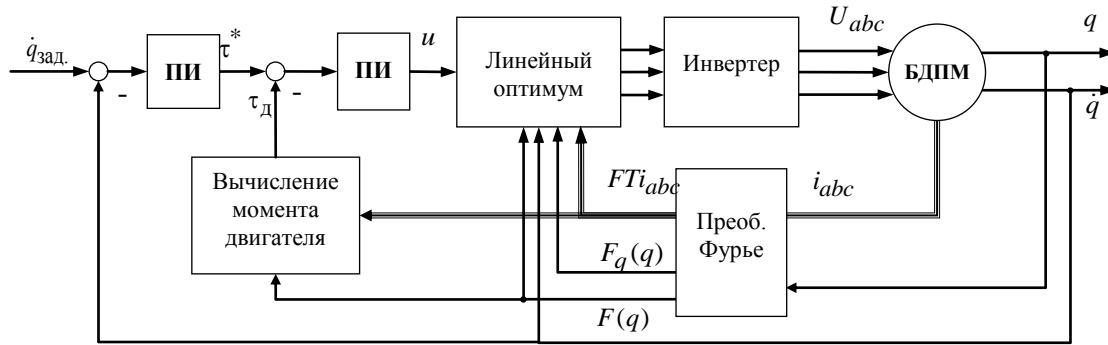


Рис. 1. Функциональная схема оптимального линейного регулятора скорости БДПМ

На рис. 1 показана функциональная схема оптимального линейного регулятора скорости БДПМ, в которой контур крутящего момента основанный на применении линейной обратной связи тока и угла поворота ротора двигателя через преобразование Фурье. Анализ преобразования Фурье приведен в [1].

II. ОПТИМАЛЬНОЕ УПРАВЛЕНИЕ МОМЕНТОМ.

Предположим, что главное управление с учетом уравнения (8) определяется как:

Из уравнений (4), (5) и (6) имеем:

$$\tau + \lambda \dot{\tau} = \frac{1}{R} \mathbf{F}'^T(q) \mathbf{u}' - \frac{1}{R} \|\mathbf{F}'(q)\|^2 \dot{q} + \mathbf{F}'_q(q) \lambda \mathbf{i}^T \dot{q}, \quad (7)$$

где $\mathbf{u}' = \mathbf{B}\mathbf{u}$, $\mathbf{F}'_q(q) = \frac{\partial \mathbf{F}'(q)}{\partial q}$.

Из уравнения (7) видно, что крутящий момент двигателя состоит из двух частей:

$$\tau + \lambda \dot{\tau} = \frac{1}{R} \mathbf{F}'^T(q) \mathbf{u}' - \frac{1}{R} \|\mathbf{F}'(q)\|^2 \dot{q} + \mathbf{F}'_q(q) \lambda \mathbf{i}^T \dot{q} = \mathbf{u}_p + \mathbf{u}_n, \quad (8)$$

где \mathbf{u}_p – главный управляющий сигнал, управляющий электромагнитным моментом, а \mathbf{u}_n используется для минимизации рассеивания мощности, достижения максимальной эффективности машины и для предотвращения насыщения фазных напряжений инвертера.

Далее используя уравнения (4) и (8) необходимо решить две задачи:

- оптимизировать контур тока в (5), чтобы предотвратить насыщение управляющего напряжения двигателя и снизить потери в стали, что приведет к повышению производительности машины и непрерывному крутящему моменту;
- определить оптимальный регулятор крутящего момента. Решение этой задачи основано на решении задачи линейной оптимизации уравнения (8).

$$\mathbf{u}_p = \mathbf{F}(q)\dot{q} + \mathbf{R} \left(\mathbf{u} - \lambda \mathbf{i}^T \mathbf{F}_q(q) \right) \boldsymbol{\eta}(q), \quad (9)$$

где $\boldsymbol{\eta}(q) = [\eta_1(q), \eta_2(q), \dots, \eta_p(q)]^T$, \mathbf{u} – вспомогательное входное управление.

Из уравнений (8) и (9) получаем дифференциальное уравнение крутящего момента с замкнутым контуром:

$$\tau + \lambda \dot{\tau} = \dot{q} \lambda \mathbf{i}^T \mathbf{F}_q(q) + \left(\mathbf{u} - \dot{q} \lambda \mathbf{i}^T \mathbf{F}_q(q) \right) \mathbf{F}'^T(q) \boldsymbol{\eta}(q). \quad (10)$$

Уравнение (10) упрощается до линейного дифференциального уравнения первого порядка, когда выполняются следующие условия: $\mathbf{F}'^T(q)\boldsymbol{\eta}(q)=1, \forall q \in R$, и минимальная норма дается формулой: $\boldsymbol{\eta}(q) = \frac{\mathbf{F}'(q)}{\|\mathbf{F}'(q)\|^2} \rightarrow \min$, тогда главное управление с учетом уравнения (10) будет иметь следующий вид:

$$\mathbf{u}_p = \mathbf{F}(q)\dot{q} + \mathbf{R} \frac{(\mathbf{u} - \lambda \mathbf{i}^T \mathbf{F}_q(q))}{\|\mathbf{F}'(q)\|^2} \mathbf{F}'(q). \quad (11)$$

Управление линеаризацией обратной связи (11) не только обеспечивает минимизацию потерю, но и уменьшает насыщение фазового напряжения обмоток. С другой стороны, минимизация рассеиваемой мощности может повысить эффективность машины и возможность непрерывного крутящего момента. Для достижения этого напряжение \mathbf{u} должно удовлетворять следующим условиям:

$$\begin{cases} -U_{\max} \mathbf{e} \leq \mathbf{u} \leq U_{\max} \mathbf{e} \\ \mathbf{e}^T \mathbf{u}_q = 0 \text{ или } \mathbf{B} \mathbf{u}_q = \mathbf{u}_q \end{cases}, \quad (12)$$

где U_{\max} – максимальное напряжение инвертера.

Из уравнений (4) и (11) линейное уравнение контура токи имеет вид:

$$\lambda \frac{d\mathbf{i}}{dt} + (\mathbf{e} + \lambda \dot{q} \mathbf{\Lambda}) \mathbf{i} = \frac{\mathbf{u}(t)}{\|\mathbf{F}'(q)\|^2} \mathbf{F}'(q) + \frac{1}{R} \mathbf{u}_q, \quad (13)$$

$$\text{где } \mathbf{\Lambda} = \frac{\mathbf{F}'(q) \mathbf{F}_q^T(q)}{\|\mathbf{F}'(q)\|^2}.$$

Предположим, что потери меди являются основным источником рассеивания мощности, минимизация потерь в меди равносильно максимальной эффективности машины. Для оптимального управления контуром тока можно применить \mathbf{u}_p (11), тогда нижняя и верхняя границы оптимального управляющего входа \mathbf{u}_q в уравнении (14) определяются как:

$$-\mathbf{u}_p - \mathbf{e} U_{\max} \leq \mathbf{u}_q \leq -\mathbf{u}_p + \mathbf{e} U_{\max}$$

Преобразование Лапласа линейной системы в (11) с линеаризацией обратной связи \mathbf{u}_p в (11) позволяет получить передаточную функцию контура момента:

$$\frac{\tau(s)}{u(s)} = \frac{1}{\lambda s + 1}, \quad (14)$$

где s – переменный Лапласа, λ – постоянная момента машины. Оптимальный регулятор ПИ будет иметь следующую передаточную функцию:

$$u = \left(K_{\text{ПТ}} + \frac{K_{\text{ИТ}}}{s} \right) (\tau^* - \tau) = \left(K_{\text{ПТ}} + \frac{K_{\text{ИТ}}}{s} \right) (\tau^* - \mathbf{F}'^T(q) \mathbf{i}), \quad (15)$$

где τ^* – момент задания, $K_{\text{ПТ}}, K_{\text{ИТ}}$ – пропорциональный коэффициент и интегральный коэффициент регулятора тока.

III. ОПТИМАЛЬНОЕ УПРАВЛЕНИЕ СКОРОСТЬЮ

В статье проведено исследование модели электропривода на основе трехфазного бесколлекторного двигателя с постоянными магнитами и шестью парами полюсов. По закону Кирхгофа получим уравнения двигателя:

$$\begin{bmatrix} u_a \\ u_b \\ u_c \end{bmatrix} = \begin{bmatrix} R & 0 & 0 \\ 0 & R & 0 \\ 0 & 0 & R \end{bmatrix} \begin{bmatrix} i_a \\ i_b \\ i_c \end{bmatrix} + \begin{bmatrix} L_a(q_3) - M & 0 & 0 \\ 0 & L_b(q_3) - M & 0 \\ 0 & 0 & L_c(q_3) - M \end{bmatrix} \frac{d}{dt} \begin{bmatrix} i_a \\ i_b \\ i_c \end{bmatrix} + \begin{bmatrix} e_a \\ e_b \\ e_c \end{bmatrix},$$

где u_a, u_b, u_c – фазные напряжения на обмотках статора; R – сопротивления обмоток статора; M – взаимоиндуктивность обмоток статора; $L_a(q_3), L_b(q_3), L_c(q_3)$ – функции индуктивности обмоток статора; e_a, e_b, e_c – фазные противоэлектродвижущие силы на обмотках статора; i_a, i_b, i_c – фазные токи через обмотки статора. Уравнения электромагнитного момента и механического момента двигателя имеют вид:

$$\tau_e = \frac{1}{\dot{q}} (e_a i_a + e_b i_b + e_c i_c); \quad J \frac{d\dot{q}}{dt} + B \dot{q} = \tau_e - \tau_{\text{нагр}},$$

где J – момент инерции двигателя, B – вязкий коэффициент трения, \dot{q} – угловая скорость вращения ротора, $\tau_{\text{нагр}}$ – момент нагрузки. Индуктивность обмоток статора определяется следующим выражением [3]–[6]:

$$L(q_3) = L_0(1 + K_L) \cos q_3,$$

где L_0 – номинальная индуктивность обмоток статора; K_L – коэффициент зависимости; соотношение между электрическим и механическим углами поворота ротора: $q_3 = \frac{n}{2} q$, n – количество полюсов.

Крутящий момент двигателя регулируется оптимальным пропорционально-интегральным регулятором с управлением u (15). Тогда электрический драйвер двигателя вырабатывает электромагнитный момент τ_e , равный требуемому крутящему моменту τ^* . В этом случае оптимальный регулятор скорости имеет вид:

$$\tau^*(s) = \left(K_{\text{ПС}} + \frac{K_{\text{ИС}}}{s} \right) (\dot{q}_{\text{зад}} - \dot{q}),$$

где $\dot{q}_{\text{зад}}, \dot{q}$ – скорость задания и скорость двигателя; $K_{\text{ПС}}, K_{\text{ИС}}$ – пропорциональный коэффициент и интегральный коэффициент регулятора скорости.

IV. РЕЗУЛЬТАТ МОДЕЛИРОВАНИЯ

Моделирование оптимального линейного регулятора скорости БДПМ производится с параметрами, представленными в таблице.

ТАБЛИЦА I ПАРАМЕТРЫ ДВИГАТЕЛЯ БДПМ (RBE 03011C СЕРИАЛ)

Параметры	Значение
Индуктивность фазы статора, мГн	14
Сопротивление фазы статора, Ом	5,33
К. ЭДС, В.с	0,159
Зависимый коэффициент потока (K_L)	0,1
Количество пар полюсов	06
Коэффициент трения, Н.м.с	$1,5 \cdot 10^{-3}$
Момент инерции, кг.м ²	$6,41 \cdot 10^{-4}$
Непрерывный крутящий момент, Нм	5,06
Макс. Крутящий момент, Нм	15,09

Результаты моделирования представлены на рис. 2, 3, 4, 5. с входной скоростью задания 20 рад./с и синусоидальным моментом нагрузки (5 Нм, 55 Гц). Коэффициенты регулятора выбираются следующим образом: $K_{IT} = 300$, $K_{IT} = 100$; $K_{IC} = 300$, $K_{IC} = 100$.

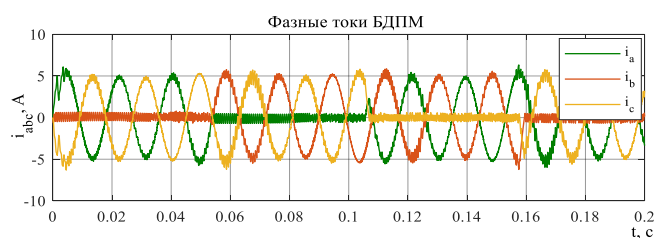


Рис. 2. Выходные фазные токи при линейных обратных выходах бес-преобразования Фурье

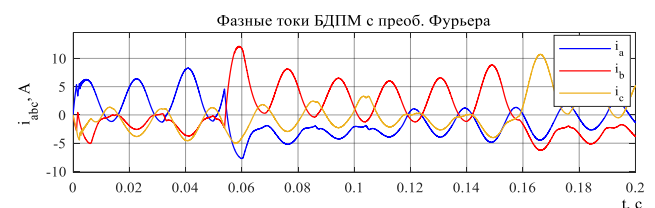


Рис. 3. Выходные фазные токи при линейных обратных выходах с преобразованием Фурье

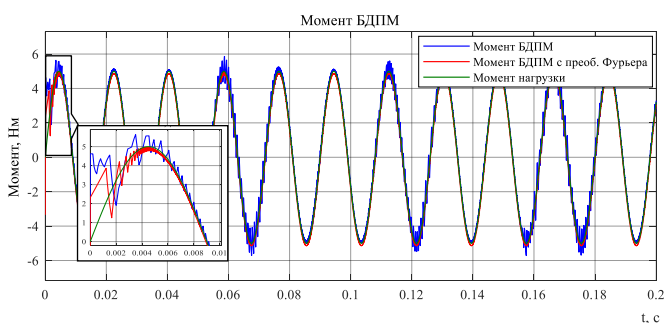


Рис. 4. Момент БДПМ

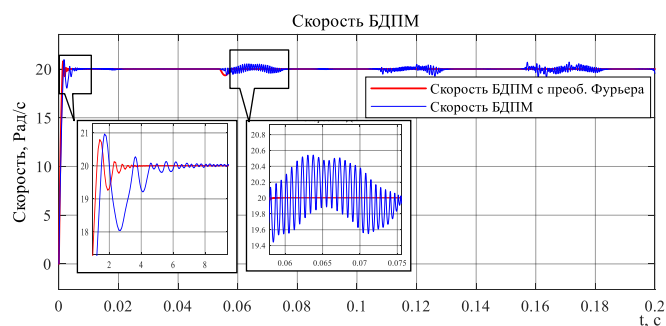


Рис. 5. Скорость БДПМ

На основе полученных результатов исследования можно сделать следующие выводы:

- Применение преобразования Фурье для фазных токов двигателя приводит к значительно увеличению фазных токов, минимизации потери и повышению эффективности работы машины (рис. 2 и 3). На практике можно выбирать оптимальную частоту преобразования Фурье, чтобы уменьшить влияния случайной частоты обратных фазных токов в контуре тока и в потере меди машины.
- При применении преобразования Фурье для обратных сигналов в контуре тока крутящий момент двигателя глаже, чем крутящий момент, созданный традиционной моделью двигателя (рис. 4). Доказана эффективность применения оптимального управления для синтеза оптимальной компенсации момента БДПМ с учетом зависимости электромагнитных характеристик двигателя от угла поворота его ротора.
- Колебания с высокой частотой скорости удалены, время переходного процесса регулятора скорости значительно уменьшено (рис. 5).

СПИСОК ЛИТЕРАТУРЫ

- [1] Aghili F. Optimal and fault-tolerant torque control of servo motors subject to voltage and current limits // IEEE Transactions on Control Systems Technology 21. 2013. Vol. 4. P. 1440-1448.
- [2] Krause P., Wasynczuk O., Sudhoff S. D., Pekarek S. Analysis of electric machinery and drive systems. John Wiley & Sons. 2013. Vol. 75. P. 557-600.
- [3] Львович А.Ю. Электромеханические системы: учеб. пособие. Л.: Изд-во Ленингр. ун-та. 1989. 296 с.
- [4] Уайст Д., Вудсон Г. Электромеханическое преобразование энергии / перев. с англ. М.-Л.: Энергия. 1964. 528 с.
- [5] Chen Yong, Jun Tang, Dong-sheng Cai, and Xia Liu. Torque Ripple Reduction of Brushless dc motor on current prediction and overlapping commutation // PRZEGLAD ELEKTROTECHNICZNY (Electrical Review). ISSN. 2012. P. 0033-2097.
- [6] Гаврилов С.В., Занг Д.Т., Тхань Н.Д. Управление электроприводом на основе бесколлекторного двигателя с постоянными магнитами // Изв. СПбЭТУ «ЛЭТИ». 2016. № 8. С. 53-62.